

大阪府立工業高等専門学校 正会員 ○本田 尚正\*  
 立命館大学理工学部 正会員 江頭 進治\*\*  
 立命館大学大学院 学生員 伊藤 隆郭\*\*

**1.はじめに** 本研究は、土石流を構成する砂礫の粒径と河床を構成する砂礫の粒径とが異なる場合に着目して、河床材料の粒径を種々変化させて実験を行い、それに基づいて土石流による河床材料の取り込みを議論しようとするものである。すなわち、水路下流端における土石流の土砂輸送濃度の時間的変化等に関する実験結果をもとに、土石流の侵食速度に対する河床材料の粒径の影響や河床侵食限界について考察する。

**2. 実験の概要** 実験には図-1に示す長さ 6.0m、幅 10.0cm の矩形断面水路を用い、路床勾配は  $12^\circ$ とした。水路は上流側において所定の土石流を形成させる区間(長さ 4.0m)と、下流側において河床材料の侵食を調べる区間(長さ 2.0m)からなり、これらは堰板(高さ 10.0cm)によって分割されている。上流側では供給土石流の定常性確保のため、河床は給砂材料を用いて供給土石流の平衡勾配に設定されている。下流側では、下流端に高さ 10.0cm の堰板が設置され、2 枚の堰板間に砂礫を敷き詰めて、土石流による侵食を調べるための河床が形成されている。水路上流端より定常給水(単位幅当たり  $q_{in}=80.0 \text{ cm}^2/\text{sec}$ )し、同時にホッパーにより給砂して、定常状態の土石流を形成させた。供給土石流は平均粒径  $d_0=0.218\text{cm}$  の均一な砂(内部摩擦角  $\phi=38.7^\circ$ 、静止堆積濃度  $c_*=0.55$ 、砂礫の比重  $\sigma/\rho=2.62$ )で構成され、上流からの土石流の流入濃度(輸送濃度)  $c_{tin}$  は、0.05 および 0.10 の 2 種類、下流側侵食区間の河床材料には、平均粒径  $d=0.218\text{cm}$ , 0.438cm, 0.8cm, 1.1cm の 4 種類を用いた(以下では、給砂材料の平均粒径には  $d_0$  の記号を、河床材料の平均粒径には  $d$  の記号をそれぞれ用いる)。測定項目は水路下流端における総流出流量(水+土砂)  $Q_{out}$  の時間変化、河床侵食区間における河床最終形状、河床侵食区間の定点における河床高  $z_b$  および水深  $h$  の時間変化である。 $Q_{out}$  はバケツを用いて 2 秒間隔で 1 回あたり 2 秒間採取し(15 回/60sec), 炉乾燥後、流出土砂を供給上石流の材料と河床材料とに分類した。これに基づいて単位幅当たりの流出流量(水+土砂)  $q_{out}$ 、全流砂および粒径別の単位幅当たりの流砂量(土砂のみ)  $q_{sout}$  および輸送濃度  $c_t$  を算出した。

**3. 実験結果** 図-2 に、 $d=0.218\text{cm}$  および 0.8cm の水路下流端輸送濃度  $c_t$  の時間変化を示す。図において、 $d_0=d=0.218\text{cm}$  で示すデータは、供給上石流材料と同じ河床材料による輸送濃度  $c_t$  であり、 $d_0$  で示すデータは、供給土石流材料の  $c_t$  であり、 $d$  で示すデータは、侵食された河床材料の  $c_t$  であり、 $d_0+d$  で示すデータは、全砂礫の  $c_t$  である。

図-2 より、河床勾配が初期設定値から顕著に変化しない時間領域、すなわち、土石流の下流端到達後 0~30 秒の時間帯に着目すると、全流砂および河床材料の  $c_t$  は、粒径が大きいほど小さくなる。すなわち、河床侵食が抑制されていることがわかる。次に  $c_{tin}$  の違い、すなわち、図-2 の(a)と(b)の結果、特に河床材料の  $c_t$  をみると、 $c_{tin}$  の大きい(b)において河床侵食が抑制されていることがわかる。これは、土石流の土砂侵食能力が、 $c_{tin}$  が大きい分だけ小さくなっていることによる。以上述べた傾向は、 $d=0.438\text{cm}$  および 1.1cm の場合の実験結果においても同様にみられた。

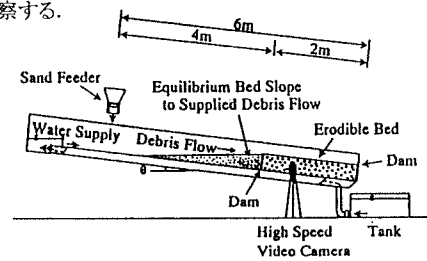
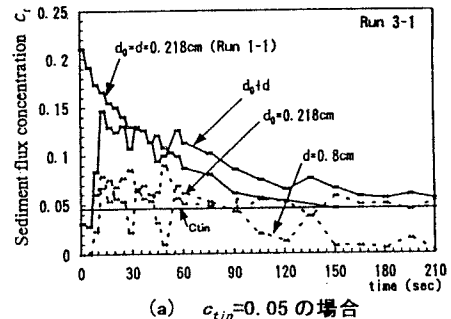
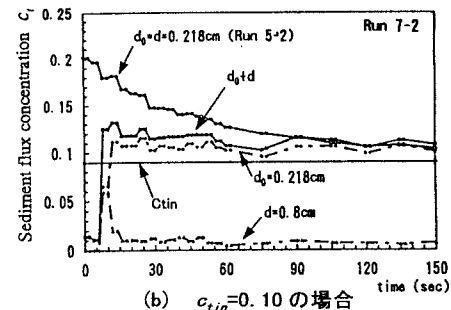


図-1 実験装置

(a)  $c_{tin}=0.05$  の場合(b)  $c_{tin}=0.10$  の場合  
( $d=0.218\text{cm}$  および  $0.8\text{cm}$  の場合)

**Keywords:** debris flow, erosion velocity, entrainment of bed sediment, critical erosion rate

\* 〒572-8572 大阪府寝屋川市幸町 26-12 Tel. 0720(20)8585 Fax. 0720(21)0134

\*\* 〒525-8577 滋賀県草津市野路東 1-1-1 Tel. 0775(61)2732 Fax. 0775(61)2667

図-3は、図-2に基づいて、各実験における侵食速度 $E$ を求め<sup>1)</sup>、 $d=d_0=0.218\text{cm}$ の場合の侵食速度 $E_0$ で無次元化して、これと $d/d_0$ との関係をみたものである。この図では、どのケースにおいても $d/d_0$ が大きくなると $E/E_0$ は減少している。また、 $E/E_0$ は $c_{tin}$ の小さい0.05のケースにおいて、0.10のものよりも若干大きくなっている。 $E/E_0$ が0となる河床材料の粒径、すなわち、土石流による河床材料の侵食限界について、 $c_{tin}$ により差異がみられる。 $c_{tin}$ の影響は $E_0$ に含まれており、無次元量 $E/E_0$ に対する $c_{tin}$ の影響は当初は現れないものと考えていたが、図-3のようなデータ整理によれば、図示の程度の影響がみられる。

**4. 河床材料の侵食限界** 図-4は、粒径 $d_0$ で構成される土石流が粒径 $d(d>d_0)$ で構成される河床上を流れているときの模式図である。 $E/E_0$ が0となる河床材料の粒径 $d$ 、すなわち、河床材料の侵食限界粒径は、全せん断力 $\tau_b$ が降伏応力 $\tau_y$ と等しくなる深さ $\delta$ と密接に関係するものと考えられる。すなわち、 $\delta/d$ がある値よりも小さければ河床材料は侵食されないと推察される。なお、 $\tau_b$ は、江頭・宮本・伊藤<sup>2)</sup>によれば、次式で表される。

$$\tau_b = \tau_y + \tau_d + \tau_r \quad \dots \dots \dots (1)$$

ここに $\tau_y$ は粒子間摩擦による降伏応力、 $\tau_d$ は粒子間の非弾性衝突に伴う散逸応力、 $\tau_r$ は隙間流体の変形に伴う散逸応力である。

ところで、 $\delta/d$ を用いて、その限界値を議論するよりも、流動応力 $(\tau_b - \tau_y)$ を長さの次元 $L$ で表し、 $L/d$ を用いた方が容易である。図-4および式(1)を参照すると、 $L$ は次式のように定義できる。

$$L = (\tau_b - \tau_y) / (\sigma - \rho) g \quad \dots \dots \dots (2)$$

式(2)と $d$ を用いれば、一般的の流砂における無次元掃流力に類似のパラメータとして、次式が得られる。

$$L/d = (\tau_b - \tau_y) / (\sigma - \rho) gd \quad \dots \dots \dots (3)$$

図-3(a), (b)において、 $E/E_0=0$ となる河床材料の粒径を外挿すると、それぞれ、(a)の場合には $d/d_0=6\sim8$ 程度、(b)の場合には $d/d_0=4\sim6$ 程度となる。さらに、 $E/E_0=0$ のときの河床勾配 $\theta$ および水深 $h$ として、実験終了時の最終河床形状における勾配( $c_{tin}=0.05$ のとき $\theta=8.7\sim9.1^\circ$ ,  $c_{tin}=0.10$ のとき $\theta=11.0\sim12.0^\circ$ )と水深( $c_{tin}=0.05$ のとき $h=1.3\sim1.4\text{cm}$ ,  $c_{tin}=0.10$ のとき $h=1.0\sim1.2\text{cm}$ )を与え、 $c_{tin}$ と $q_m$ を用いて $L/d$ を算定すると、図-5のようになる。

この図において、 $L/d$ は0.06~0.12となっている。一方、この図において、 $c=0.00$ は清水流の場合に相当し、その場合、 $L/d$ は概ね0.05~0.06程度であることから、本実験結果による $L/d$ の値は、清水流の場合とほぼ変わらないオーダーであることがわかる。

**5. おわりに** 河床材料の粒径を種々変化させて実験を行い、その結果に基づいて、全せん断力から降伏応力を差し引いた流動応力と粒径を用いて得られる無次元量によって、土石流による河床材料の侵食限界が表示できることを示した。これらの結果は、実際の土石流堆積物に含まれる巨礫の粒径をかなり合理的に説明できるものと思われる。今後、水路実験および現地データに基づいて、図-5の関係を検証する必要がある。

**参考文献：** 1) 江頭・本田・伊藤・有村：土石流による河床侵食に関する実験的研究、水工学論文集 No.43, pp.641~646, 1999.  
2) 江頭・宮本・伊藤：掃流砂量に関する力学的解釈、水工学論文集 No.41, pp.789~794, 1997.

3) たとえば、江頭進治：土石流の停止・堆積のメカニズム(2), 新砂防, 第46巻第2号, pp.51~56, 1993.

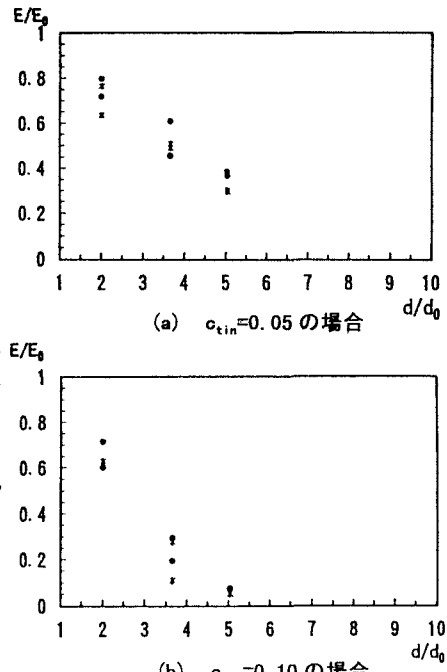


図-3 無次元侵食速度

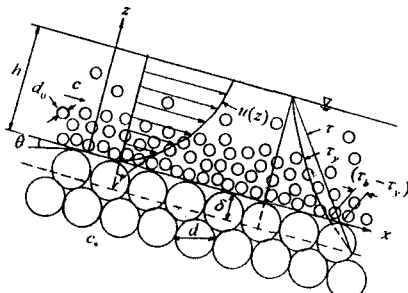


図-4 流れの模式図

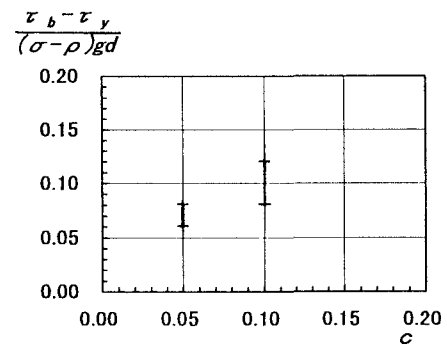


図-5 河床材料の侵食限界